# В.В. Белозеров (НИИ физики Южного федерального университета; e-mail: firemen@list.ru)

## О ПРИМЕНЕНИИ ЗАКОНА БОЛЬШИХ ЧИСЕЛ ПРИ СТАТИСТИЧЕСКОМ АНАЛИЗЕ ПОЖАРОВ

**Аннотация.** На основе закона больших чисел и статистических данных о пожарах на Юге России с 1995 г. по 2006 г. разработана математическая модель анализа оперативно-тактических задач по тушению пожаров.

Ключевые слова: закон, большие числа, анализ, пожар.

#### V.V. Belozerov

## ON THE APPLICATION OF THE LAW OF LARGE NUMBERS FOR STATISTICAL ANALYSIS OF FIRE

**Abstract.** Based on the law of large numbers and statistical data on fires in the south of Russia from 1995 to 2006, developed a mathematical model for analyzing operational and tactical tasks in extinguishing fires.

Key words: law, large numbers, analyses, fire.

#### Сведения об авторе

Белозеров Валерий Владимирович кандидат технических наук, старший научный сотрудник Начальник Испытательного вычислительно-информационного центра НИИ физики Южного федерального университета e-mail: firemen@list.ru

#### 1. Введение

Практика изучения случайных явлений показывает, что хотя результаты отдельных наблюдений, даже проведенных в одинаковых условиях, могут сильно отличаться, в то же время средние результаты для достаточно большого числа наблюдений устойчивы и слабо зависят от результатов отдельных наблюдений. Теоретическим обоснованием этого замечательного свойства случайных событий является закон больших чисел.

Простейшая форма закона больших чисел и исторически первая теорема о них — теорема Бернулли, утверждающая, что если вероятность события одинакова во всех испытаниях, то с увеличением числа испытаний частота события стремится к вероятности события и перестает быть случайной [1]:

$$\lim_{n\to\infty} P\left(\left|\frac{\mu_n}{n} - p\right| \langle \varepsilon \rangle\right) = 1$$

где  $\mu_n$  – число успехов в n испытаниях Бернулли, p – вероятность успеха в отдельном испытании,  $\varepsilon > 0$  – любое.

В основе качественных и количественных утверждений закона больших чисел лежит неравенство Чебышева. Оно определяет верхнюю границу вероятности того, что отклонение значения случайной величины от ее математического ожидания больше некоторого заданного числа  $\varepsilon > 0$ :

$$P(|\xi - M_{\xi}| \ge \varepsilon) \le \frac{D_{\xi}}{\varepsilon^2}$$

где  $M_{\xi}$ ,  $D_{\xi}$  — математическое ожидание и дисперсия случайной величины  $\xi$ .

Неравенство Чебышева дает оценку вероятности события для случайной величины, распределение которой неизвестно, известны лишь ее математическое ожидание и дисперсия. Однако это утверждение верно и в более общей ситуации, а именно, предположение о существовании дисперсии не является необходимым, т.е. имеет место так называемый закон больших чисел в форме Хинчина [1]:

$$\frac{\xi_1 + \ldots + \xi_n}{n} \xrightarrow{P} a \quad (n \to \infty),$$

где  $\xi_1, \ldots \xi_n$  – последовательность независимых одинаково распределенных случайных величин, у которых существует математическое ожидание, равное a.

#### 2. Постановка задачи

Системный анализ оперативно-тактической деятельности (ОТД) противопожарной службы сдерживается [2, 3] отсутствием возможности проведения детального временного анализа решения оперативно-тактических задач (ОТЗ), что обусловлено усечёнными данными в карточках учета пожаров автоматизированной системы обработки данных о пожарах (АСОД ПОЖАРЫ).

Дело в том, что при формировании базы данных АСОД ПОЖАРЫ доступны для анализа четыре "независимых" показателя времён выполнения ОТЗ и два "суммарных" показателя [4]:

- Tс время сообщения о пожаре разность между временем сообщения и временем обнаружения пожара;
- $T_{\rm cn}$  время следования на пожар разность между временем прибытия к месту пожара и временем сообщения о нём;
- $T_{\rm л}$  время локализации пожара разность между временем прибытия к месту пожара и временем его локализации;
- $T_{\text{лик}}$  время ликвидации пожара разность между временем ликвидации пожара и временем его локализации;
- $T_{\text{\tiny T}} = (T_{\text{\tiny Л}} + T_{\text{\tiny ЛИК}})$  разность между временем ликвидации пожара и временем прибытия на него;
- $T_{\rm cr} = (T_{\rm c} + T_{\rm np})$  разность между временем обнаружения пожара и временем прибытия на него.

Общее количество решаемых ОТЗ (рис. 1) – более десяти [5, 6].

Для нахождения корреляции между указанными временами выполнения ОТЗ и социально-экономическими потерями от пожаров было сделано допущение, что все потери от пожара сосредоточены в интервале времени его свободного развития, т.е. с момента возникновения и до локализации пожара (рис. 1). Это допущение обосновывалось следующими очевидными функциональными оперативно-тактическими моделями [5, 6]:

- 1. Если реализован оптимальный оперативный план пожаротушения (организация необходимого числа боевых участков, применение соответствующих пожарной опасности объекта ОТС и подача их с требуемой итенсивностью в течение необходимого времени), то локализация пожара наступает сразу после введения огнетушащего состава (ОТС);
- 2. Если выполнение предыдущих ОТЗ по разведке, спасению населения и боевому развертыванию оптимально, то увеличениие материального ущерба и гибель людей прекращаются при локализации пожара, т.е. ущерб определяется только уже "горящими" ценностями, а развитие пожара (увеличение потерь) прекращается.

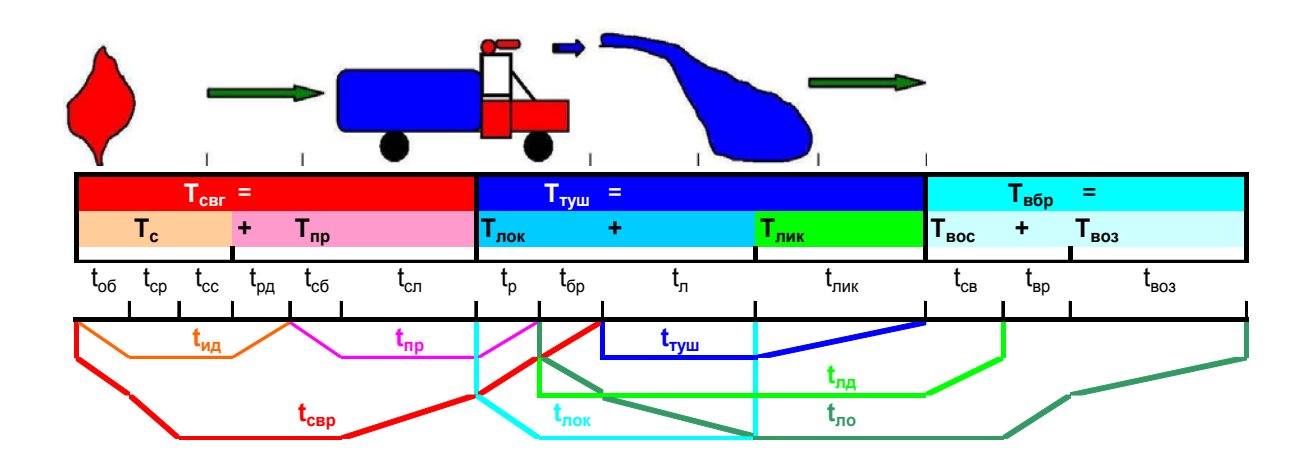


Рис. 1. Псевдографическая структура ОТЗ:

 $t_{\text{ОФП}}$  – время обнаружения опасных факторов пожара (длительность процесса загорания до срабатывания пожарного извещателя ( $t_{\text{об}}$ ) и включения оповещения ( $t_{\text{ср}}$ ), или обнаружения дыма/огня населением и т.д.);

 $t_{\rm CC}$  — время сообщения о пожаре (длительность процесса сообщения о пожаре в ПЧ средствами связи и сигнализации, посыльным и т.д.);

 $t_{\rm PД}$  — время решения оперативной задачи диспетчером (длительность процесса идентификации объекта пожара, определения высылаемых сил и средств по расписанию выездов, формирования и передача приказа на выезд в  $\Pi$ Ч);

 $t_{\rm CE}$  — время сбора и высылки боевого расчёта по тревоге (длительность процесса сбора боевых расчетов и выезда пожарных автомобилей);

 $t_{\rm CЛ}$  – время следования к месту пожара (длительность процесса движения пожарных автомобилей к объекту пожара);

 $t_{\rm P}$  — время разведки (длительность процесса обнаружения очага пожара и пострадавших);

 $t_{\rm БP}$  — время боевого развертывания (длительность процесса спасения пострадавших, организации боевых участков, постановки на водоисточники и развертывания пожарно-технического вооружения);

 $t_{\rm Л}$  — время локализации пожара (длительность процесса ограничения распространения огня огнетушащими составами, включая защиту окружающих помещений и объектов);

 $t_{\text{ЛИК}}$  — время ликвидации пожара (длительность процесса подавления горения и обработки места пожара на предмет недопущения повторного воспламенения);

 $t_{\rm CB}$  — время свертывания (длительность процесса свертывания пожарнотехнического вооружения);

 $t_{\rm BP}$  — время восстановления ресурсов (длительность процесса восстановления огнетушащих составов в пожарных автомобилях);

 $t_{\rm BO3}$  — время возвращения с места пожара (длительность процесса движения пожарных автомобилей к ПЧ и постановка их в боевой расчет).

### 3. Способы и результаты решения

Используя принцип "черного ящика", и, подавая на вход АСОД "ПОЖАРЫ" скоррелированные условия выборки (пожары, ущерб, гибель и т.д.) по временам выполнения ОТЗ, представленным в геометрической прогрессии, были получены данные и построены гистограммы (рис. 2) времён выполнения ОТЗ на Юге России в 1995-2006 гг. (Ростовская область, Краснодарский и Ставропольский края). При этом данные о пожарах с "нулевыми" временами и с временами более 1533 минут были "собраны и вынесены на бесконечность" и учитывались при расчетах как пожары, на которые ПЧ не привлекались.

Обработка приведенных ниже гистограмм на ЭВМ по методу выравнивания средних показала, что все огибающие, имеющие экстремумы, с достаточной точностью описываются трансцендентными функциями вида:

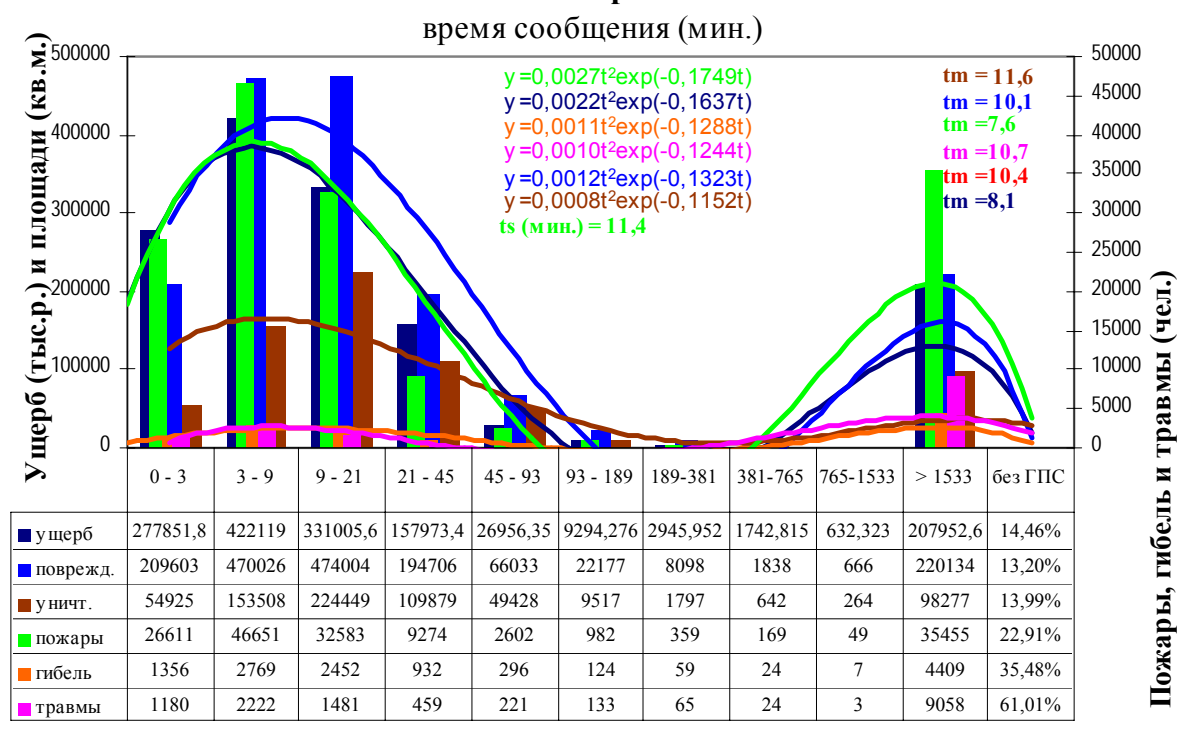
$$y = a t^b \cdot \exp(-c t), \tag{1}$$

где b/c — максимум функции,  $(b+\sqrt{b})/c$  — "правая" точка перегиба,  $(b-\sqrt{b})/c$  — "левая" точка перегиба, которые при интегрировании дают гамма-распределения (распределения Эрланга) пожаров, ущерба, гибели, площадей и т.д. по временам выполнения ОТЗ:

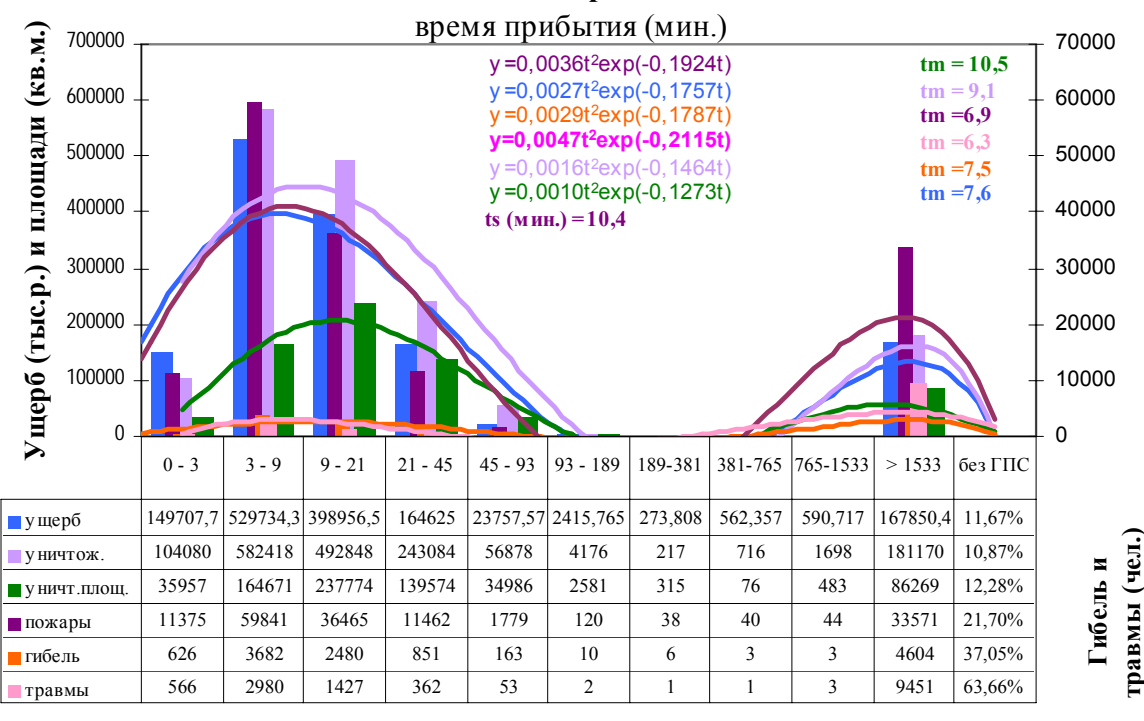
$$y = \frac{\left(\frac{t}{c}\right)^{b-1} \cdot \exp\left(-\frac{t}{c}\right)}{c \cdot [(b-1)!]},$$
(2)

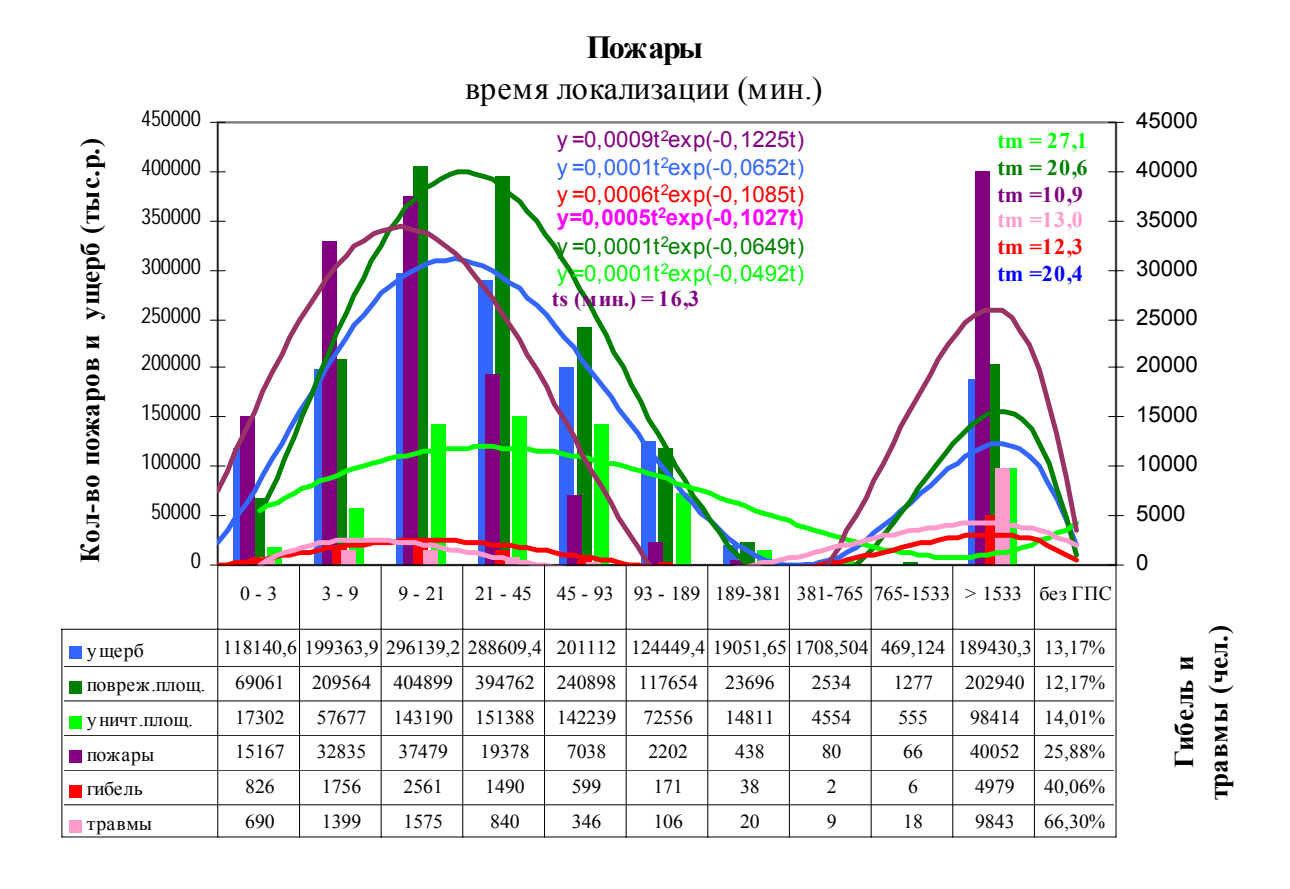
$$P = 1 - \exp\left(-\frac{t}{c}\right) \cdot \left[\sum_{i=0}^{b-1} \frac{(t/c)^i}{i!}\right]. \tag{3}$$

#### Пожары



#### Пожары





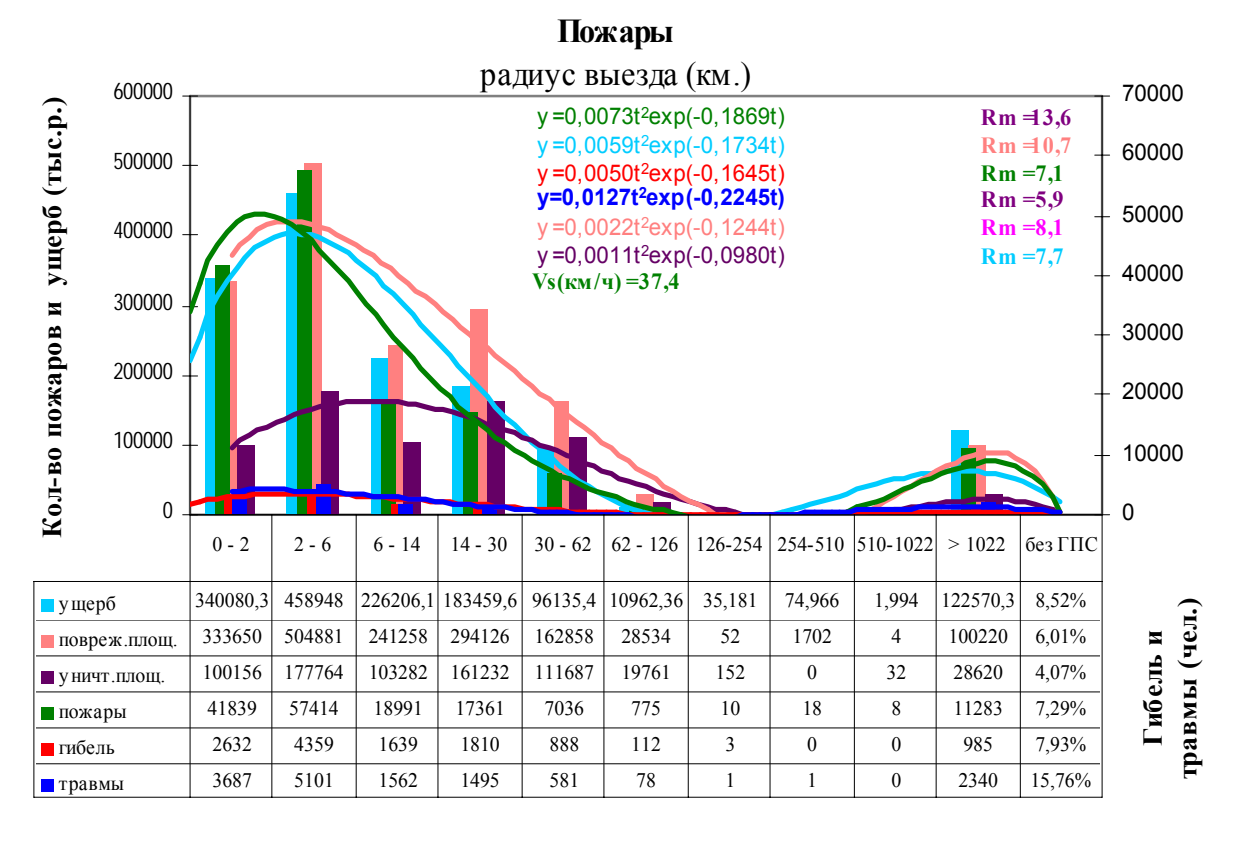


Рис. 2. Гистограммы времён выполнения ОТЗ

На основании указанной выше теоремы Хинчина (на массиве данных по 154735 пожарам) была найдена взаимосвязь математических ожиданий всех "новых времён" ОТЗ с математическими ожиданиями времён, фиксируемых в карточках учета пожаров:  $T_C$ ,  $T_{\Pi P}$ ,  $T_{ЛОК}$ ,  $T_{ЛИК}$  ( $T_{TУШ}$ ,  $T_{CB\Gamma}$ ), для чего была составлена система уравнений (4), описывающая их взаимосвязи, для решения которой были использованы ещё три показателя карточки учета пожаров и нормативы сбора боевых расчетов на  $\Pi A$  разных типов [4, 6, 7]:

R — расстояние до объекта пожара, по которому определяется средняя скорость следования пожарного автомобиля  $V_C = \frac{60 \cdot R_C}{(T_{IIP} - t_{co} - t_{no})};$ 

 $S_{y}$ ,  $S_{\Pi}$  — уничтоженные и поврежденные пожаром площади, существенно "удлиняющие" расстояние до очага пожара на крупных и рассредоточенных промышленных и сельскохозяйственных объектах;

 $T_{CE}$  — норматив времени сбора и выезда по тревоге отделения и караула (на ПА разных типов - ЗИЛ, ГАЗ, КАМАЗ), как средняя величина их "отличных оценок" ( $T_{CE}$  - (30 + 34 + 90 + 94)/4 = 1,033).

$$\begin{cases} t_{u\partial} = T_C + t_{p\partial} \\ t_{np} = T_C + T_{\Pi P} + t_p - t_{u\partial} \\ t_{c\delta} = T_{\Pi P} - t_{c\Lambda} - t_{p\partial} \\ t_{c\eta} = T_C + T_{\Pi P} - t_{u\partial} - t_{c\delta} \\ t_p = t_{np} - T_{\Pi P} + t_{p\partial} \\ t_{c\theta p} = T_C + T_{\Pi P} + t_p + t_{\delta p} . \end{cases}$$

$$t_{\delta p} = T_{\Lambda OK} - t_{\Lambda} - t_{p}$$

$$t_{myu} = T_{\Lambda UK} + t_{\Lambda}$$

$$t_{\Lambda} = T_{\Lambda UK} - t_p - t_{\delta p}$$

$$t_{\pi UK} = T_{\pi UK} - t_{\rho} - t_{\delta p}$$

При этом, в связи с разной "скоростью автоматизации" работ диспетчеров ЦУСС в городах и ПЧ в сельских районных центрах (оснащения АРМ и т.д.), влияющих на время привлечения сил и средств, использовано предельно возможное сокращение времени решения диспетчером задачи за время сбора по тревоге [6], т.е.  $T_{CB} = (t_{p0} + t_{c0} = t_{c0})$ . Тогда минимальное время следования боевого расчета на пожар определится по формуле:

$$T_{CJI} = \frac{\left(R_C + \frac{\sqrt{S_V} + \sqrt{S_{II}}}{1000}\right) \cdot \left(T_{IIP} - T_{CE}\right)}{R_C}.$$
 (5)

Таким образом, система (4) может быть решена методом подстановки с соответствующими заменами переменных, в связи с чем для определения "новых времён" начальной стадии пожара выберем из неё 1-ю систему из 2-х уравнений:

$$\begin{cases} t_{np} = T_{\Pi P} + t_p - t_{p\partial} \\ t_{np} = t_{c\delta} + t_{cn} + t_p \end{cases}$$
 (6)

Разделим все уравнения на  $t_{cn}$ , введём новую переменную  $\frac{t_{p\partial}+t_{c\partial}}{t_{cn}}=k=\frac{T_{\Pi P}-t_{cn}}{t_{cn}}$  и, учитывая, что  $t_{p\partial}=kt_{cn}-t_{c\partial}$  , преобразуем систему (6) следующим образом:

$$\begin{cases}
\frac{t_{np}k}{T_{\Pi P} - t_{cn}} = \frac{T_{\Pi P}k}{T_{\Pi P} - t_{cn}} + \frac{t_{p}k}{T_{\Pi P} - t_{cn}} - \frac{k^{2}t_{cn}}{T_{\Pi P} - t_{cn}} + \frac{kt_{c6}}{T_{\Pi P} - t_{cn}} \\
\frac{t_{np}k}{T_{\Pi P} - t_{cn}} = \frac{t_{c6}k}{T_{\Pi P} - t_{cn}} + 1 + \frac{t_{p}k}{T_{\Pi P} - t_{cn}}
\end{cases} (7)$$

Подставим правую часть 2-го уравнения вместо левой части 1-го уравнения и, приводя подобные, получим квадратное уравнение,

$$k^{2} - \frac{T_{\Pi P}}{t_{CR}}k + \frac{T_{\Pi P} - t_{CR}}{t_{CR}} = 0,$$
 (8)

корни которого вычисляются по формуле:

$$k = \frac{T_{\Pi P}}{2t_{cn}} \pm \sqrt{\left(\frac{T_{\Pi P}}{2t_{cn}}\right)^{2} - \frac{T_{\Pi P} - t_{cn}}{t_{cn}}} = \frac{T_{\Pi P}}{2t_{cn}} \pm \sqrt{\frac{T_{\Pi P}^{2} - 4T_{\Pi P}t_{cn} + 4t_{cn}^{2}}{4t_{cn}^{2}}} = \frac{T_{\Pi P} \pm \sqrt{T_{\Pi P}^{2} - 4T_{\Pi P}t_{cn} + 4t_{cn}^{2}}}{2t_{cn}} = \frac{T_{\Pi P} \pm \sqrt{T_{\Pi P}^{2} - 4T_{\Pi P}t_{cn} + 4t_{cn}^{2}}}{2t_{cn}}.$$
(9)

Подставляя в формулу (9) вместо  $t_{cn}$  минимальное время следования  $T_{CD}$  из уравнения (5) и учитывая, что время следования —  $t_{cn}$ , как правило, больше суммы времён сбора и решения диспетчером задачи  $t_{po} + t_{co} = kt_{cn}$ , т.е. k лежит в интервале 0,1 < k < 1 и второй корень уравнения (с вычитанием корня из дискриминанта) не имеет смысла, получим следующие формулы для вычисления k и математического ожидания времени следования к месту пожара:

$$k = \frac{R_{C}T_{\Pi P} + R_{C}}{T_{\Pi P}^{2} - 4T_{\Pi P}} \underbrace{\frac{\left(R_{C} + \frac{\sqrt{S_{V}} + \sqrt{S_{\Pi}}}{1000}\right) \cdot \left(T_{\Pi P} - T_{CE}\right)}{R_{C}}}_{R_{C}} + 4\underbrace{\left(\frac{\left(R_{C} + \frac{\sqrt{S_{V}} + \sqrt{S_{\Pi}}}{1000}\right) \cdot \left(T_{\Pi P} - T_{CE}\right)}{R_{C}}\right)^{2}}_{R_{C}};$$

$$2\left(R_{C} + \frac{\sqrt{S_{V}} + \sqrt{S_{\Pi}}}{1000}\right) \cdot \left(T_{\Pi P} - T_{CE}\right)$$
(10)

$$t_{cn} = \frac{T_{\Pi P}}{k+1}. (11)$$

Разделив все уравнения системы (6) на  $t_{p\partial}$  и проведя аналогичные (7) преобразования с заменой переменных  $\frac{t_{c\delta}+t_{c\pi}}{t_{p\partial}}=\ell=\frac{T_{\Pi P}-t_{p\partial}}{t_{p\partial}},$  получим уравнение

$$\ell^2 - \frac{T_{\Pi P}}{t_{p\partial}} \ell + \frac{T_{\Pi P} - t_{p\partial}}{t_{p\partial}} = 0, \qquad (12)$$

корни которого вычисляются по аналогичной формуле:

$$\ell = \frac{T_{\Pi P}}{2t_{p\partial}} \pm \sqrt{\left(\frac{T_{\Pi P}}{2t_{p\partial}}\right)^2 - \frac{T_{\Pi P} - t_{p\partial}}{t_{p\partial}}} = \frac{T_{\Pi P} \pm \sqrt{T_{\Pi P}^2 - 4T_{\Pi P}t_{p\partial} + 4t_{p\partial}^2}}{2t_{p\partial}}, \quad (13)$$

но вместо  $t_{p\partial}$  подставляется его граничное выражение  $t_{p\partial} = t_{c\pi} - T_{CE}$ , в котором, в отличие от аналогичного уравнения (9), подставляется математическое ожидание времени следования из уравнения (11), в результате чего получаем следующие формулы для вычисления  $\ell$  и математических ожи-

даний времён решения диспетчером задачи  $(t_{p\partial})$ , сбора по тревоге  $(t_{c\delta})$  и идентификации объекта пожара  $(t_{u\partial})$ :

$$\ell = \frac{T_{\Pi P} + \sqrt{T_{\Pi P}^2 - 4T_{\Pi P} \left(\frac{T_{\Pi P}}{k+1} - T_{CE}\right) + 4\left(\frac{T_{\Pi P}}{k+1} - T_{CE}\right)^2}}{2\left(\frac{T_{\Pi P}}{k+1} - T_{CE}\right)};$$
(14)

$$t_{p\partial} = \frac{T_{\Pi P}}{\ell + 1};\tag{15}$$

$$t_{c6} = T_{IIP} \left( 1 - \frac{1}{\ell + 1} - \frac{1}{k + 1} \right); \tag{16}$$

$$t_{u\partial} = T_C + \frac{T_{\Pi P}}{\ell + 1}. (17)$$

Для определения "новых времён" заключительной стадии пожара составим 2-ю систему из 2-х уравнений:

$$\begin{cases}
 t_{cep} = T_C + T_{\Pi P} + t_p + t_{\delta p} \\
 t_{cep} = T_C + T_{\Pi P} + T_{\Pi O K} - t_{\pi}
\end{cases}$$
(18)

Разделив все уравнения системы (18) на  $t_n$ , и проведя аналогичные (7) преобразования с заменой переменных  $\frac{t_p + t_{\delta p}}{t_n} = m = \frac{T_{JOK} - t_n}{t_n}$ , получим уравнение,

$$m^{2} - m \frac{T_{JOK}}{t_{\pi}} + \frac{T_{JOK} - t_{\pi}}{t_{\pi}} = 0.$$
 (19)

корни которого вычисляются по формуле:

$$m = \frac{T_{JOK}}{2t_{_{II}}} \pm \sqrt{\left(\frac{T_{JOK}}{2t_{_{II}}}\right)^{2} - \frac{T_{JOK} - t_{_{II}}}{t_{_{II}}}} = \frac{T_{JOK} \pm \sqrt{\left(T_{JOK} - 2t_{_{II}}\right)^{2}}}{2t_{_{II}}}.$$
 (20)

Один из корней, учитывая принятые выше допущения при  $t_n \to 0$ , не определён, а второй равен единице:

$$m = \frac{T_{JOK} - T_{JOK} + 2t_{_{II}}}{2t_{_{II}}} = 1$$
, откуда  $t_{_{II}} = \frac{T_{JOK}}{m+1} = \frac{T_{JOK}}{2}$ . (21)

Тогда имеем следующие формулы для вычисления математических ожиданий времён тушения  $(t_{myw})$  и свободного развития пожара  $(t_{csp})$ , а также суммы времён разведки  $(t_p)$  и боевого развертывания  $(t_{\delta p})$ :

$$t_{myu} = T_{JUK} + t_{\pi} = T_{JUK} + \frac{T_{JOK}}{2};$$
 (22)

$$t_{cep} = T_C + T_{\Pi P} + T_{JOK} - t_{\pi} = T_C + T_{\Pi P} + \frac{T_{JOK}}{2};$$
 (23)

$$t_p + t_{\delta p} = \frac{T_{\mathcal{N}OK}}{2}. (24)$$

Для решения уравнения (24), разделим все его члены на  $t_{\delta p}$  и введем новую переменную  $\frac{t_p}{t_{\delta p}}=q$  , в результате чего получим

$$\frac{t_p}{t_{\delta p}} + 1 = \frac{T_{JOK}}{2t_{\delta p}} \to t_{\delta p} = \frac{T_{JOK}}{2(q+1)}.$$
 (25)

Для нахождения q воспользуемся нормативами по боевому развертыванию от пожарного автомобиля (с постановкой на водоисточник и прокладкой двух линий: учебная башня и мишень)  $T_{\mathit{BP}}-3,4$  мин. [7, 8], который подставим в уравнение (25):

$$q = \frac{T_{JOK}}{6.8} - 1. {(26)}$$

Тогда математические ожидания времён разведки  $(t_p)$  и прибытия  $(t_{np})$  определятся по формулам:

$$t_p = \frac{T_{JOK}}{2} - \frac{T_{JOK}}{2(q+1)} = \frac{T_{JOK}q}{2(q+1)}.$$
 (27)

$$t_{np} = T_{\Pi P} + t_p - t_{p\partial} = T_{\Pi P} + \frac{T_{\Pi O K} q}{2 \cdot (q+1)} - \frac{T_{\Pi P}}{\ell+1} = \frac{T_{\Pi P} \ell}{\ell+1} + \frac{T_{\Pi O K} q}{2 \cdot (q+1)}. \quad (28)$$

Учитывая свойство аддитивности функций распределений Эрланга, можно более точно, чем получено ранее [3, 5, 6, 9], определить "суммарные времена", состоящие из нескольких "новых времён" выполнения ОТЗ, описываемых функциями распределения Эрланга (2, 3) нулевого порядка  $(t_i \rightarrow t_{p\partial}, t_{co}, t_{co}, t_{p}, t_{\delta p}, t_{\pi}, t_{\pi u \kappa} = T_{\pi u \kappa})$ :

$$b = 1$$
,  $c = t_i$ ,  $P = 1 - \exp(-t/t_i)$ . (29)

В этом случае функции вероятности распределений Эрланга "суммарных новых времён" определятся следующим образом:

**идентификация** — распределение Эрланга 1-го порядка ( $t_{u\partial} = T_C + t_{p\partial}$ ):

$$b = 2$$
,  $c = t_{u\partial}/2$ ,  $P = 1 - (1 + 2t/t_{u\partial}) \cdot \exp(-2t/t_{u\partial})$ ; (30)

**прибытие** – распределение Эрланга 2-го порядка  $(t_{np} = t_{co} + t_{cn} + t_p)$ :

$$b = 3$$
,  $c = t_{np}/3$ ,  $P = 1 - [1 + 3t/t_{np} + 9t^2/2t_{np}^2) \cdot \exp(-3t/t_{np})$ ; (31)

**тушение** – распределение Эрланга 2-го порядка  $(t_{mvu} = T_{ЛИК} + t_{\pi})$ :

$$b = 3$$
,  $c = t_{mvu}/3$ ,  $P = 1 - [1 + 3t/t_{mvu} + 9t^2/2t_{mvu}^2) \cdot \exp(-3t/t_{mvu})$ ; (32)

**свободное развитие** - распределение Эрланга 5-го порядка ( $t_{cep} = t_{uo} + t_{np} + t_{op}$ ):

$$b = 6, c = t_{cep}/6, P = 1 - (1 + 6t/t_{cep} + 18t^2/t_{cep}^2 + 36t^3/t_{cep}^3 + 54t^4/t_{cep}^4 + 194t^5/3t_{cep}^5) \cdot \exp(-6t/t_{cep}).$$
(33)

Полученные формулы апробированы при статистическом анализе пожаров с помощью АСОД "ПОЖАРЫ" в Ростовской области, в Краснодарском и Ставропольском краях [5, 6, 10].

С примером реализации предлагаемого подхода на суммарной статистике пожаров на Юге России (1995-2006 гг.) можно ознакомиться, обратившись к автору настоящей статьи по электронной почте: firemen@list.ru.

#### Литература

- 1. **Энциклопедия** кибернетики // Под ред. акад. Глушкова В.М., т.1. Киев: АН УССР, 1974. С.171, 179.
- 2. **Гаврилей В.М., Ширяев В.Н.** Оптимизация деления территории города на районы выезда пожарных частей // Сб. науч. тр. "Экономика в пожарной охране". М.: ВНИИПО, 1978. С. 31-34.

- 3. **Кабанец Е.Е.** Классификация пожаров для оценки и прогнозирования оперативной обстановки // Сб. науч. тр. "Организационно-управленческие проблемы пожарной охраны". М.: ВНИИПО, 1986. С. 47-52.
- 4. **Статистика** пожаров. Руководство пользователя версия 05.10.95. М.: ВНИИПО, 1995. 50 с.
- 5. **Белозеров В.В., Бойко С.И.** Моделирование оперативно-тактической деятельности гарнизонов пожарной охраны // Материалы 9-й науч.-техн. конф. "Системы безопасности" СБ-2000. М.: Академия ГПС МВД России, 2000. С. 135-138.
- 6. **Белозеров В.В., Глушко А.А., Кононенко Р.А.** Дифференциальная модель решения оперативно-тактических задач противопожарной службы // Материалы 13-й науч.-техн. конф. "Системы безопасности" СБ-2004. М.: Академия ГПС МЧС России, 2004. С. 285-288.
- 7. **Теребнев В.В., Грачев В.А., Подгрушный А.В., Теребнев А.В.** Пожарностроевая подготовка: уч. пособ. М.: Академия ГПС МЧС России, Колан-Форт, 2004. 336 с.
- 8. **Нормативы** по пожарно-строевой подготовке / Утверждены ГУГПС МВД России 28.12.94 № 20/3.1/2188. М.: МВД России, 1994. 35 с.
- 9. **Брушлинский Н.Н.** Моделирование оперативной деятельности пожарной службы. М.: Стройиздат, 1981. 96 с.
- 10. **Белозеров В.В.** Информационные технологии и компьютерное моделирование в задачах безопасности жизнедеятельности // Материалы науч.-метод. конф. "Современные информационные технологии в образовании ЮФО" СИТО-2009. Ростов н/Д: ЮГИНФО, 2009. С. 42-47.